

Cone 貫入試験을 이용한 海洋土質의 剪斷強度 算定에 대한 信賴度 研究

A Reliability Study on Estimating Shear Strength
of Marine Soil using CPT

李 寅 模*

Lee, In-Mo

李 命 宰**

Lee, Myung-Jae

Abstract

Reliability of the cone penetration test (CPT) for estimating shear strength of marine soils is investigated in this paper. For sands, the uncertainty about the angle of internal friction is analyzed. It includes the spatial variation of the soil and the model error in the equation used for interpretation. The most serious uncertainty encountered was the error in the interpretative models. Different methods of interpretation gave quite different values. Subjective opinion was introduced to combine all the interpretative models in a systematic manner.

For clays, the undrained Shear Strength from the CPT results is usually derived by empirical correlations between cone resistance and undrained shear strength from laboratory tests or field vane tests, expressed in terms of cone factor and function of overburden pressure. The uncertainty of the undrained shear strength is caused by data scatter of the cone factor in the correlation, model error of the cone factor, effect of anisotropy, and spatial variability of cone resistance. Among these uncertainties, the most serious one was the data scatter of the cone factor in the correlation. Between the laboratory test and the field vane test used for correlation, the field vane test was more reliable.

要 旨

本研究에서는 海洋土質의 剪斷強度 算定에 대한 Cone 貫入試験의 信賴度를 調査하였다. 砂質土에 대하여는 内部摩擦角의 不確定性을 調査하였으며, 不確定性에는 資料의 空間的 變化와 解析에 사용되는 公式의 모델誤差 等이 있고, 그중 解析모델의 誤差가 가장 큰 不確定性이었다. 解析 方法마다 구한 内部摩擦角이 서로 다르므로, 解析結果를 綜合할 수 있는 주관적 견해개념(subjective opinion)을 導入하였다.

Cone 貫入試験을 利用하여 粘土地盤에서 非排水剪斷強度를 算定하기 위해서는 室內試験이나 現場

* 正會員, 韓國科學技術院, 土木工學科 助教授

** (株) 大宇 엔지니어링, 技術研究所, 研究員

비인 試驗으로 구한 剪斷強度와 Cone 저항력의 經驗的인 關係를 利用하여야 한다. 非排水剪斷強度의 不確定性은 Cone 계수(N_k)의 資料散布, N_k 의 모델 誤差, 异方性과 Cone 저항력의 空間的 變化 等에 因因하며, N_k 의 資料散布가 가장 큰 不確定性이었다. N_k 값의 算定에 利用되는 比較強度試驗은 室內試驗보다는 現場비인試驗의 信賴性이 더 큰 것으로 나타났다.

1. 序論

海洋構造物의基礎調査는 测定方法과 解析方法의 不確定性으로 인해 정확한 剪斷强度算定이 어렵다.^{5),6)} 또한, 주변의 악조건과 높은 단가로 인해 많은 試驗을 행할 수 없으므로 적절한 試驗方法과 解析方法을 선택하는 것이 매우 important하다.

海洋土質의剪斷強度는三軸試驗(triaxial test),直接簡便剪斷試驗(direct simple shear test),一軸壓軸試驗(unconfined compression test)等의實驗室室內試驗과 torvane, laboratory vane과 pocket penetrometer等의船上室內試驗,Cone貫入試驗(cone penetration test, CPT),現場베타인試驗(field vane test, FVT), pressuremeter等의現場試驗에 의해算定된다.⁵⁾ 이 중에서,海洋構造物의基礎調查에 가장널리 사용되는Cone貫入試驗은 신속하고 경제적이며, 연속적인토질의 주상도(profile)를決定할수있고, 다른密度나強性을가진얇은層을검출할수있는長點을가지고있으나剪斷強度를經驗의으로決定하므로얇은不確定性이存在하여解析方法에따라큰差異가發生한다.^{3), 8), 9), 10)}

本研究에서는 北海(North Sea)의 Beryl A 와 Statfjord B에 位置한 Condeep形態의 重力式 海洋構造物을 例題로 利用하여 砂質土인 경우와 粘土地盤인 경우에 Cone貫入試驗을 利用한 剪斷強度 算定方法의 不確定性을 각각 調査하고, 解析方法에 따른 差異를 分析하여 정확한 剪斷強度 算定을 위한 妥當性을 검토하고자 한다.

2. 信賴度 理論의 適用

2.1 原位置 强度

原位置强度의 算定은 土質特性의 空間的 變化 (spatial variation), 解析모델의 誤差, 不充分한

試料로 인한 誤差 等으로 인한 不確定性이 存在
하게 되며, 以上의 誤差를 補正하여 (1)式으로
原位置強度量 算定한다.

여기서, S 는 原位置强度이며, S_t 는 測定强度이고 K 는 모델誤差로 인한 補正係數이다.

原位置強度의 變動係數(coefficient of variation)는 前述한 3 가지의 不確定性을 고려하여 (2) 式으로 算定한다.

$$Q[S] = \sqrt{Q^2[S_t] + \left\{ \frac{Q[S_t]}{\cdot} \right\}^2 + Q^2[K]} \dots (2)$$

여기서, $\Omega[S_i]$ 는 测定된 强度의 變動係數이고,
 $\Omega[K]$ 는 補正係數의 變動係數이며, n 은 試料의
 個數이고 $\Omega[S_i]/\sqrt{n}$ 은 不充分한 試料로 인한
 誤差이다.

2.2 Cone貫入試験을 이용한 剪斷强度 算定

Cone 貫入試験은 剪斷强度를 직접 測定할 수 없고 Cone 저항력(q_c)의 函數로 剪斷强度를 表現할 수 있다. Cone 貫入試験을 砂質土에 適用할 경우에는 排水剪斷强度를 얻게 되며 Cone 저항력과 内部摩擦角(ϕ')의 相關關係를 利用하여 剪斷强度를 算定한다. 또한, 粘土地盤에서는 非排水剪斷强度와 Cone 저항력의 相關關係를 이용하여 剪斷强度를 구한다.

Cone 저항력의 不確定性과 Cone 저항력과 剪斷强度의 相關關係에 存在하는 不確定성이 剪斷强度의 不確定성을 決定하므로 一般式으로 表現하면 (3)式으로 나타낼 수 있다.

$$Y \equiv K_1 \cdot K_2 \cdots \cdots \cdots g(X) \cdots \cdots \cdots \quad (3)$$

여기서, g 는 X 와 Y 사이의 相關係이며, X 는 Cone 저항력, Y 는 内部摩擦角 혹은 非排水剪斷強度를 나타내고, K_1, K_2, \dots 는 모델誤差와 다른 不確定性을 補正하는 補正係數이다. (3)式을 一次近似解법 (1st order approximation)에 의해 정리하면 平均值와 變動係數를 (4)式으로 算定할 수 있다.

$$E[Y] = E[K_1] \cdot E[K_2] \cdots \cdots g(E[X]) \cdots \cdots (4a)$$

$$\Omega^2[Y] = \frac{1}{g^2(E[X])} \left[\frac{dg}{dx} \right]_m^2 \text{Var}[X] + \Omega^2[K_1] + \Omega^2[K_2] + \cdots \cdots \cdots \cdots (4b)$$

여기서, $E[\cdot]$, $\text{Var}[\cdot]$, $\Omega[\cdot]$ 는 각각 無作爲 變量(random variable)의 平均(mean), 分散(variance), 變動係數(coefficient of variation)를 표시한다.

2.3 土質特性의 空間的 變化

海洋土質의 剪斷強度는 測定한 位置에 따라 欲이 變化하므로 實際 設計에 適用할 平均值를 決定하기 위해서는 이 效果를 고려해 주어야 한다 土質特性의 空間的 變化에 관한 一般式은 (5)式으로 나타낼 수 있다.^{16), 14)}

$$\text{Var}[S_{t,A}] = \Gamma^2[A] \cdot \text{Var}[S_t] \cdots \cdots \cdots \cdots (5a)$$

$$\Gamma[A] = \Gamma[l] \cdot \Gamma[y] \cdots \cdots \cdots \cdots (5b)$$

$$\begin{aligned} \Gamma[l] &= [\delta_l/l]^{1/2}, \quad l \geq \delta_l \\ &= 1, \quad l \leq \delta_l \end{aligned} \cdots \cdots \cdots \cdots (5c)$$

$$\begin{aligned} \Gamma[y] &= [\delta_y/y]^{1/2} \quad y \geq \delta_y \\ &= 1, \quad y \leq \delta_y \end{aligned} \cdots \cdots \cdots \cdots (5d)$$

$$\delta_l = l / \sqrt{(X/\delta_x)^2 + (Z/\delta_z)^2} \cdots \cdots \cdots \cdots (5e)$$

여기서 $\text{Var}[S_{t,A}]$, $\text{Var}[S_t]$ 는 각각 面積 A 를 갖는 단면(segment)에서의 平均强度의 分散 및 試驗資料의 分散이고, l 은 단면(segment)의 $X-Z$ 평면상의 길이, y 는 그 幅이며, $\Gamma[\cdot]$ 는 分散減少係數(variance reduction factor)이고, $\delta_x, \delta_y, \delta_z$ 는 각각 X, Y, Z 方향의 상관거리(correlation distance)¹⁴⁾이다.

2.4 주관적 견해개념(Subjective Opinion)¹¹⁾

주관적 견해개념(Subjective Opinion)은 確率函數를 적합하게 適用할 수 없을 때 이용가능한 資料를 도입하는 것이다. 각각의 다른 方法으로 決定된剪斷強度가 서로 다른 값을 가질 때, 기술자는 가장 정확한剪斷強度를 구하기 위하여 그 差異를 조정해야 할 필요가 생긴다. P_{ij} 를 전문가 j 가 決定한 事象 i 의 確率이라면, 의사결정자(decision maker)에 의해서 決定되는 事象 i 의 確率은 (6)式으로 나타낸다.¹¹⁾

$$P_i = \sum_{j=1}^n W_j P_{ij}; \quad \sum W_j = 1 \cdots \cdots \cdots \cdots (6)$$

여기서, W_j 는 의사결정자(decision maker)가 전문가 j 에게 부여한 가중치(weight)이다.

剪斷強度를 推定하는 方法에는一般的으로 여려가지가 있게되며, 각 方法으로 구한 값들이 다르게 나타남이 보통이다. 이때 기술자는 어떤 값을 設計에 使用해야 할지 모르게 된다. 이때에 기술자는 의사결정자(decision maker)로서 한 方法에 의한 값만을 믿지 말고 각각의 方法에 의해 구해진 強度의 확률분포를 P_{ij} 라 할 때 식(6)을 利用하여 각 方法을 모두 고려한 全體의 확률분포 P_i 를 구하여 使用함이 바람직하다. 이때 각 方法의 신빙성에 따라서 다른 가중치를 의사결정자의 공학적 판단에 의해 줄 수 있고, 만일 n 개의 方法이 비슷한 信賴性을 가지고 있다면 각각의 方法에 $\frac{1}{n}$ 씩의 가중치를 부여하여 구하면 된다.

3. 砂質土의 剪斷強度 算定

Beryl A에서 구한 Cone 저항력을 Fig. 1에 수록했으며, 24個의 試驗으로 구한 平均值를 Fig. 2에 수록했다.

本研究에서의 內部摩擦角(ϕ')은 三軸試驗에서 上載壓力으로 맨처음에 壓密한 다음에 구한 최

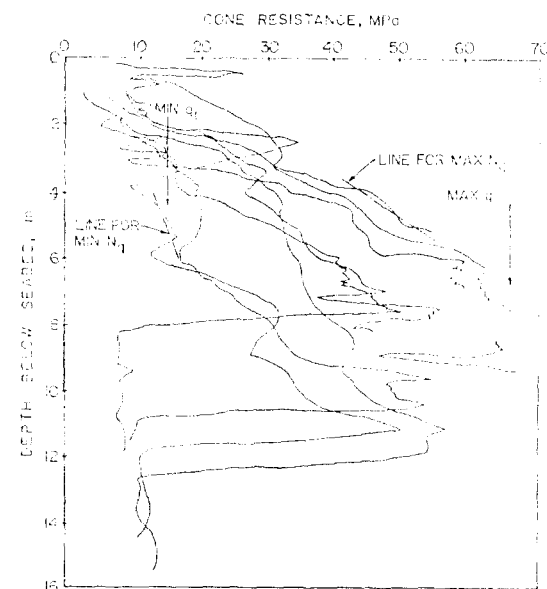


Fig. 1 Typical Profiles of Cone Penetration Resistance (Beryl A)

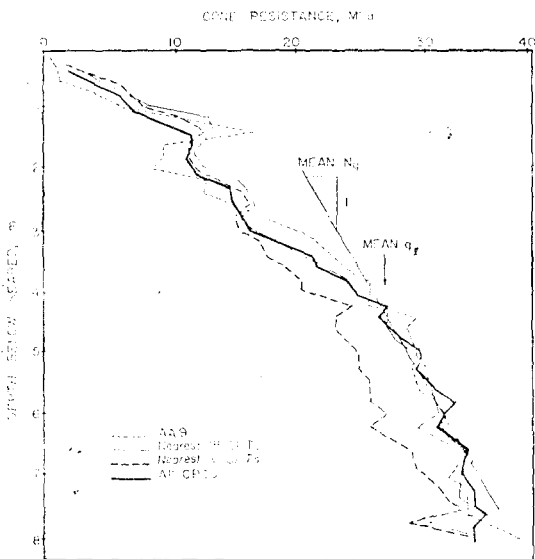


Fig. 2 Average Cone Penetration Resistance (Beryl A)

고전 단강도(peak shear strength)로 부터 얻은 값을 나타내며, 内部摩擦角은 破壞로 정의되어지는 變形度 값에 의존한다. 砂質土에서의 Cone 저항력은 内部摩擦角의 함수이다. 왜냐하면 Cone 선단부는 깊은 기초로 볼 수 있으며 깊은 기초의 선단지지력은 内部摩擦角의 함수이기 때문이다. 따라서 본연구에서는 内部摩擦角을 Cone 저항력으로부터 역으로 추정할 수 있다. 이 内部摩擦角의 算定은 Meyerhof,¹¹⁾ Janbu 와 Senneset,⁷⁾ Schmertmann,^{12), 13), 14)} Durgunoglu 와 Mitchell¹⁵⁾ 등에 의하여 제안되었으며, 최근에 Lunne 와 Christoffersson⁹⁾에 의해 수정식이 제안되었다.

3.1 Meyerhof 方法¹¹⁾

Cone 저항력의 한계 값(q_u)을 이용하여 内部摩擦角을 算定하는 方法이며, Fig. 2에 平均 q_u 값을 수록했다. 平均值가 上限值보다는 下限值에 가까우므로 q_u 이 14와 65MN/m² 사이에서 非對稱三角形分布(Lower Triangular Distribution)라고 假定하면 平均值와 變動係數를 算定할 수 있으며(Table 1 참고) 그 결과를 Table 2에 수록했다. 이 q_u 값으로 부터 内部摩擦角 ϕ' 을 Meyerhof 가 제안한 經驗的인 關係(Fig. 3 참조)로 부터 구할 수 있으면 그 결과를 역시 Table 2

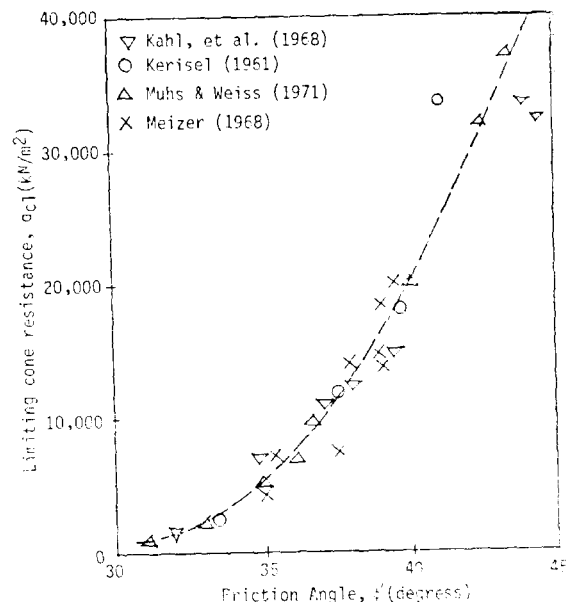


Fig. 3 Friction Angle-Limiting q_c Correlation
(Meyerhof, 1974)¹¹⁾

에 수록했다.

3.2 Janbu 와 Senneset 方法⁷⁾

이 방법에서는 극한지지력 이론을 根幹으로 經驗的인 고찰을 하여 内部摩擦角을 算定하여 Cone 저항력과 깊이의 線形關係를 利用하여 (7)式으로 구한다.

여기서, a 는 $q_c=0$ 일때의 절편(intercept)이며, N_q 는 q_c 와 σ_z' 의 그래프에서의 경사이다. N_q 와 ϕ' 의 관계는 (8)式으로 算定한다.

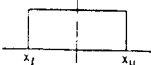
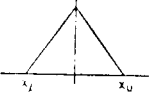
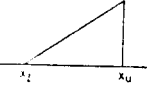
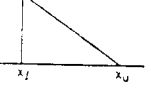
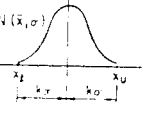
$$N_i = \tan^2 \left[\phi' + \frac{\pi}{4} \right] \cdot \exp \left\{ [\pi - 2\beta] \tan \phi' \right\} \quad \dots (8)$$

N_q 의 평균값은 Fig. 2에 나타냈으며 최대값과
최소값은 Fig. 1에 수록했다. N_q 의 평균값가 240
이고 $\beta = -15^\circ$ 일 때 내부摩擦角은 47.4° 이다.
 N_q 의 变動係數와 補正係數의 变動係數를 고려
하여 内部摩擦角의 变動係數를決定하여 Table. 2
에 수록했다.

3.3 Schmertmann 方法^{12), 13), 14)}

Schmertmann 은 Cone 저항력과 相對密度 사이의 關係를 (9)式으로 제안했다.

Table. 1 Statistics of Prescribed Distributions

확률분포, PDF	평균, $E(X)$	변동계수, $\Omega(X)$
	$\frac{1}{2}(x_l + x_u)$	$\frac{1}{\sqrt{3}} \left(\frac{x_u - x_l}{x_u + x_l} \right)$
	$\frac{1}{3}(x_l + x_u)$	$\frac{1}{\sqrt{6}} \left(\frac{x_u - x_l}{x_u + x_l} \right)$
	$\frac{1}{3}(x_l + 2x_u)$	$\frac{1}{\sqrt{2}} \left(\frac{x_u - x_l}{2x_u + x_l} \right)$
	$\frac{1}{3}(2x_l + x_u)$	$\frac{1}{\sqrt{2}} \left(\frac{x_u - x_l}{x_u + 2x_l} \right)$
	$\frac{1}{2}(x_l + x_u)$	$\frac{1}{\sqrt{2}} \left(\frac{x_u - x_l}{x_u + x_l} \right)$

$$D_r = \left[\frac{1}{2.91} \right] \ln \left\{ \frac{q_c}{6.27(\sigma_z')^{.71}} \right\} \times 100\% \quad (9)$$

여기서 q_c 는 Cone 저항력이며, 單位는 MPa이다. 過壓密土일 경우에 Schmertmann은 (10)式

을 제안했다.

$$q_c = q_0 \left[1 + 0.75 \left(\frac{K_{oo}}{K_{on}} - 1 \right) \right]^{-1} \quad (10)$$

여기서 q_0 는 過壓密土에서 测定한 Cone 저항력이며 K_{oo} 와 K_{on} 은 過壓密土와 正規壓密土의 경지土壓係數이다.

相對密度에서 (11)式을 적용하면 內部摩擦角을 산정할 수 있다.

$$\phi' = 28 + 0.14D_r \quad (11)$$

따라서, 內部摩擦角 ϕ' 는 式(9), (10), (11)을 利用하여 구할 수 있으며, 이의 平均과 變動係數는 (4)式을 이용하여 1차 근사해법으로 구한다. 계산결과를 역시 Table 2에 수록했다.

3.4 Durgunoglu 와 Mitchell의 方法⁴⁾

Durgunoglu 와 Mitchell은 깊은 基礎의 지지력 공식을 이용하여, 모래地盤의 지지력을 (12)式으로 算定했다.

$$q_c = \gamma' BN_{rq} \zeta_{rq} \quad (12)$$

여기서 N_{rq} 는 지지력 계수이며, ζ_{rq} 는 形상과 깊이의 係數이다. N_{rq} 算定時에 使用되는 K_0 의 不確定性은 Schmertmann의 方法에서와 같이 사용할 수 있고, roughness ratio (δ/ϕ')의 不確定性은 1/3과 2/3 사이에 均等分布로 假定하여 구할 수 있다. 內部摩擦角의 平均值은 45.3°이며 Table. 2에 수록했다.

Table. 2 Statistical Estimate of ϕ' from CPTs

Method	Data			ϕ'	
	Parameter	$E(\cdot)$	$\Omega(\cdot)$	$E(\phi')$	$\Omega(\phi')$
(a) Meyerhof	q_K	26.4 MPa 1.0	0.32 0.02	41.3°	$\Omega[\phi'] = .05$
(b) Janbu and Senneset	N_q K	240 1.0	0.48 0.04	47.4°	$\Omega[\phi'] = .07$
(c) Schmertmann	q_0 q_c K_0 K_1 D_r K_2	0.8 1.0 102% 1.0	0.30 0.34 0.07 0.12 $\Omega[D_r] = .17$.07	42.2°	$\Omega[\phi'] = .09$
(d) Durgunoglu and Mitchell	q_0 K δ/ϕ' K_0	1.0 0.5 0.8	.30 .01 0.19 0.07	45.3°	$\Omega[\phi'] = .03$
(e) Subjective Opinion				44.5°	$\Omega[\phi'] = .11$

Table. 3 Statistical Estimate of ϕ' from CPTs (Modified Methods)

Method	Data			ϕ'	
	Parameter	$E(\cdot)$	$\Omega(\cdot)$	$E(\phi')$	$\Omega[\phi']$
(a) Janbu and Senneset	N_q K	240 1.0	.48 .03	43.2°	$\Omega[\phi']=.05$
(b) Schmertmann	q_0 q K_0 K_1 D_r K		.30 0.8 1.0 92.3% 1.0		
(c) Durgunoglu and Mitchell	q K δ/ϕ' K_0	1.0 0.5 0.8	.30 .01 .19 .07	40.3°	$\Omega[\phi']=.07$
(d) Subjective Opinion				43.6°	$\Omega[\phi']=.09$

3.5 Lunne 와 Christoffersen 의 수정식⁹⁾

Lunne 와 Christoffersen 은 chamber test 를 통하여 Janbu, Seuneset, Schmertmann 方法을 수정했다. 그 수정식은 (13)으로 表現된다.

$$N_q = \tan^2 \left[\frac{\phi'}{2} + \frac{\pi}{4} \right] \exp \left\{ \left[4\phi' - \frac{\pi}{3} \right] \tan \phi' \right\} \quad \dots \dots \dots (13a)$$

$$D_r = \left[\frac{1}{2.91} \right] \ln \left[\frac{q_c}{8.23(\sigma_z)^{.71}} \right] 100 \quad (13b)$$

윗 式을 적용하여 구한 $E[\phi']$, $\Omega[\phi']$ 값을 Table. 3에 수록했다.

3.6 주관적 견해개념도입(Subjective Opinion)

Table. 2에 前述한 4 가지 方法에 의한 内部摩擦角을 수록했고 Fig. 4에 표준편차를 가감하여 표시하였다. 가중치를 1/4 쪽으로 하여 구한 주관적 견해(Subjective Opinion)의 평균과 變動係數를 Table. 2에 수록했다. Meyerhof 方法이 가장 작은 평균값을 주며, Janbu의 方法으로 구한 内部摩擦角이 가장 큰 平均值를 준 것으로 나타났다. 또한 Table. 2에서 볼 수 있듯이 각각의 다른 剪斷强度 算定모델로 부터 구한 ϕ' 의 차이에 의한 오차가 각각의 모델 자체에서 자료의 산포(data scatter)로 인한 모델오차보다 큼을 알 수 있다. 다시 말하여 각각의 공식에 안자가 실험으로 입증함으로써 자기 제안공식이 잘맞는다고 제작기 주장했지만 실상은 주어진 조건이나 실험에 실제로 사용했던 모래에만 아주 잘

맞고 일반적으로 사용하기에 각각 문제가 있는 것으로 평가된다. 바꾸어 말하면 ϕ' 의 실제모델오차는 현재로서는 정확히 알 수 없으며, 따라서 全體不確定性 算定에 주관적 견해 개념(Subjective Opinion)을 이용함이 有用함을 말해준다.

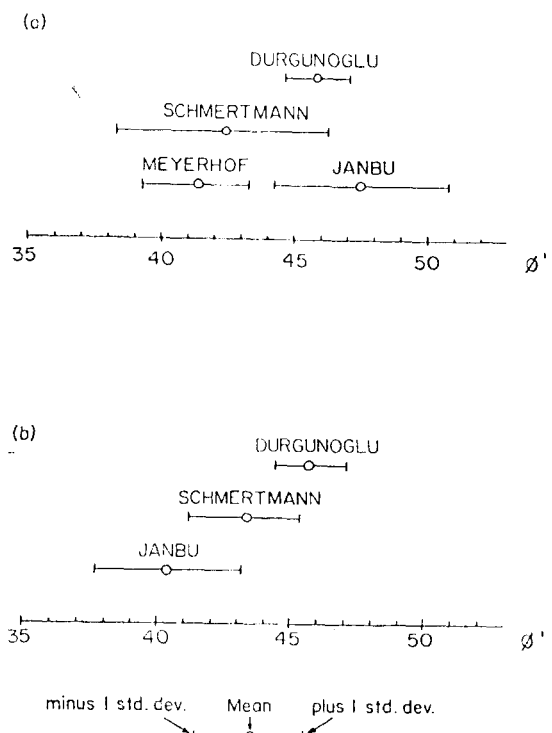


Fig. 4 Means and Standard Deviations from CPTs (a) Regular Methods (b) Modified Methods

砂質土의 剪斷強度는 (14)式으로 算定한다.

여기서, σ' 는 有効法線應力(effective normal stress)이다. 剪斷強度의 平均과 표준편차는 (15)식으로 算定한다.

$$E[S] \equiv E[\sigma'] \cdot \tan(E[\phi']) \quad \dots \dots \dots \quad (15a)$$

$$\tilde{\tan\phi}' = \tilde{\phi}' \left[\frac{\partial}{\partial\phi'} \tan\phi' \Big|_m \right] \dots \quad (15c)$$

4. 粘土地盤의 剪斷強度 算定

4.1 非排水剪斷强度 算定

Cone 買入試驗을 이용하여 粘土地盤에서 非排水剪斷強度를 決定하는 方法은 다른 剪斷強度試驗과의 經驗的의 關係에 依存하여 (16)式으로 나타낼 수 있다.^{8), 10)}

여기서, q_c 는 Cone resistance, γz 는 全上載壓力이며, N_k 값은 土質의 應力-變形度 特性에 따라決定되는 變數이다. 그러므로, 특정지역에서 시험에 의해 N_k 값을 구하지 않고, Cone貫入試驗만으로 非排水剪斷強度를 算定하기 위해서는 N_k 값의 적절한 선택이 매우 重要하다.

一般的으로 N_k 값은 Cone 貫入試驗과 室內試驗의 相關關係(correlation)에 의한 方法이나, Cone 貫入試驗과 現場 베인試驗의 相關關係에 의한 方法으로 각각 算定한다.

4.2 N_K 값의 算定

4.2.1. 室內試驗에 의한 方法

Kjekstad 等⁸⁾이 北海에서 壓密等方非排水, 三軸主動試驗과 Cone 貫入試驗의 相關關係에서 구한 N_k 值을 이용하여 剪斷強度를 算定할 수 있으며 이에 대한 자세한 내용은 참고문헌 (16)을 통하여 발표한 바 있다.

4.2.2. 現場에 의試驗에 의한 方法

Cone 貫入試験과 現場 배인試験의 關係에 의한
 N_k 값의 算定은 Lunne 等¹⁰⁾이 Scandinavia, 미
 국, Italy, Norway의 12 장소에서 단단하기가
 중간이 하위 粘土에 관하여 구한 값을 이용한다.

N_k 값은 塑性指數(plastic index)의 函數로 주어지고²⁾ 現場 베인試驗으로 구한 非排水剪斷強度는 非排水條件에서 구한 地盤의 滑動強度를 나타낸다. Statfjord B의 塑性指數는 24~36%이므로 (Fig. 5 참조) Fig. 6에서 구한 N_k 값은 9~19.5이다. N_k 값이 上限值에 歪曲度가 있으므로 非對稱三角形分布로 假定하면 (Table. 1 참고) 平均値가 16, 變動係數가 0.15이다.

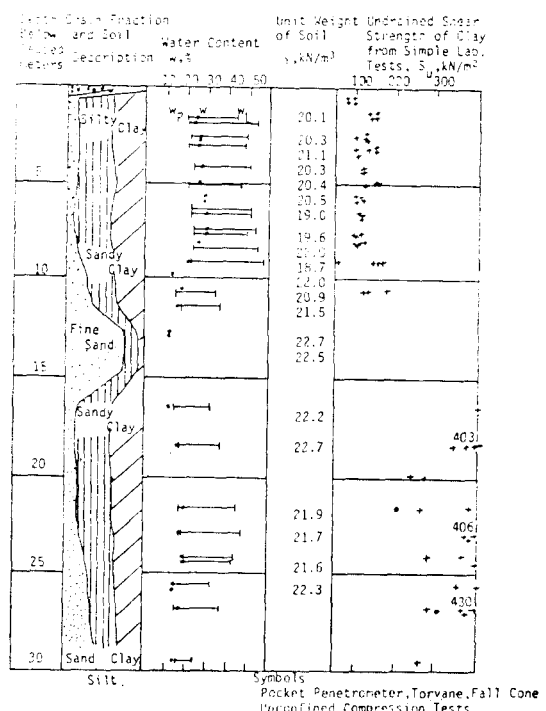


Fig. 5 Soil Description (Statford B)

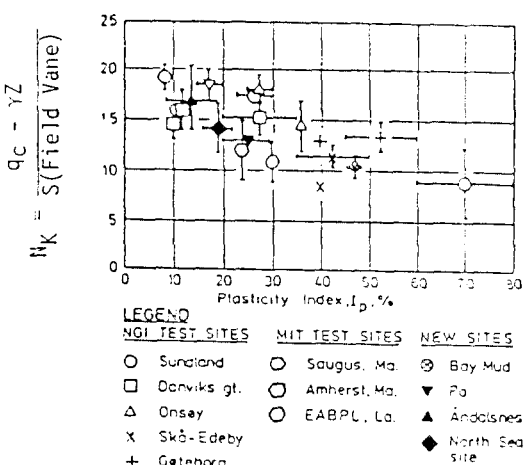


Fig. 6 N_k from Field Vane Strength

4.3 N_K 값의 model 誤差

不偏(unbiased) N_K 값의 平均值와 變動係數는 (17)式으로 算定한다.

$$E[N_K] = \prod_{j=1}^n E[M_j] \cdot E[N_K'] \quad \dots\dots\dots(17a)$$

$$\Omega[N_K] = \sqrt{[Q[N_K']]^2 + [Q[N_K]/\sqrt{n}]^2} \\ + \sum Q^2[M_j] \quad \dots\dots\dots(17b)$$

여기서 N_K' 는 Kjekstad 혹은 Lunne 가 구한 代表值이고 M_j 는 補正係數이며 n 은 試料의 個數이다.

N_K 값의 모델誤差는 比較強度試驗의 形態(M_1), 貫入率(M_2), 貫入方法(M_3), 貫入 tip의 形態(M_4), 水平有效應力 혹은 過壓密比(M_5), rigidity index (M_6) 等이 있으며 참고문헌(16)을 통하여 發表한 바 있다(Table 4 참조). 여기서는 比較強度試驗이 現場 베인試驗일 때의 補正係數(M_1)에 관하여 서술한다. 現場 베인試驗으로 구한 非排水剪斷强度는 滑動에 의한 破壞斷面의 平均強度와 荷重速度(rate of loading), 異方性, 減進的인 破壞 等으로 인한 差 차를 갖는다.

荷重速度(μ_1) : 荷重을 빨리 가할수록 測定된 剪斷强度가 커진다. 粒子의 局部的인 재배열로 剪斷變形度가 어느 크기에 도달했을 때 破壞斷面이 형성되며, 가속화된 剪斷運動으로 인해 취약한 破壞斷面에 거시적인 破壞가 發生하게 된다. 粘土의 塑性이 增加할수록 荷重速度에 의한 效果가 增加한다. Statfjord B에서 구한 μ_1 은 0.64~0.96 정도의 값을 가지며 均等分布로 假定했을 때 $E[\mu_1]=0.8$, $Q[\mu_1]=0.12$ 이다.

異方性(μ_2) : 베인强度는 圓形破壞斷面의 平均强度를 나타내므로 破壞斷面의 幾何學的 形相이 다를 때에는 異方性에 의한 偏差를 補正해 주어야 한다.一般的으로 육지에서의 破壞時의 強度는 (18)式으로 결정될 수 있다(Fig. 7a 참조).

$$S_V = \frac{S_A + S_D + S_P}{3} \quad \dots\dots\dots(18)$$

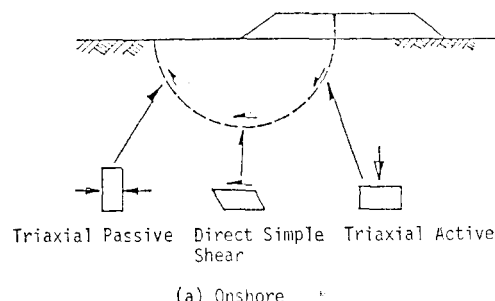
여기서 S_A , S_D , S_P 는 각各 主動, 直接簡便剪斷, 受動狀態의 剪斷强度이다. 그러나, Fig. 7b에 나타낸 것처럼 海洋構造物의 破壞斷面은 直接簡便剪斷 狀態가 큰 기하학적 形상을 갖고 있으며, 破壞斷面의 平均强度를 (19)式으로 나타낼 수 있다.

$$S_B = \frac{LA \cdot S_A + LD \cdot S_D + LP \cdot S_P}{LA + LD + LP} \quad \dots\dots\dots(19)$$

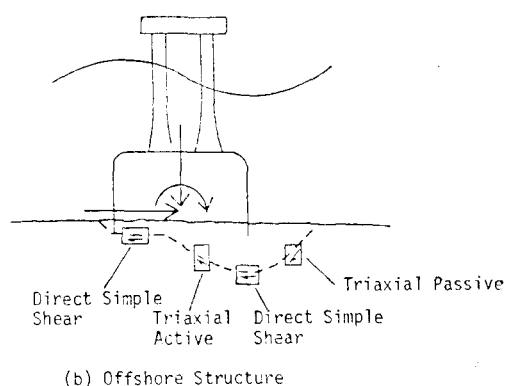
여기서 LA , LD , LP 는 각各 主動, 直接簡便剪斷, 受動狀態의 파괴 단면 길이이다. 해양구조물 파괴 시에 현장 베인 시험의 異方性 보정계수는 S_B/S_V 의 비로 결정될 수 있다. Statfjord B의 滑動破壞斷面에서 主動, 直接簡便剪斷, 受動 狀態의 相對的인 길이와 圓形破壞斷面을 比較하여 1차

Table 4 Correction Factor of N_K -value

Correction Factor	CIU-CPT		FVT-CPT	
	$E_{[M_j]}$	$Q_{[M_j]}$	$E_{[M_j]}$	$Q_{[M_j]}$
Strength Test Type (M_1)	0.90	0.12	1.32	0.15
Rate of Penetration (M_2)	1	0	1	0
Method of Penetration (M_3)	1	0	1	0
Shape of Tip (M_4)	1	0	1	0
K_0 or OCR (M_5)	1	0.07	1	0.07
Rigidity Index (M_6)	1	0.05	1	0.05



(a) Onshore



(b) Offshore Structure

Fig. 7 Relevance of Laboratory Tests to Shear Strength along Slip Surface

근사로 구한 平均值와 變動係數는 $E[\mu_2]=1$, $\Omega[\mu_2]=0.08$ 이다.

漸進的인 破壞(μ_3) : 破壞斷面의 全길이에서 滑動이 일어났을 때 最大應力보다 큰 變形度가 發生하게 되어 strain-softening 舉動을 하는 粘土의 경우에는 배인強度가 現場의 極限強度를 나타내지 못한다. Statfjord B의 粘土는 strain-softening 舉動을 나타내지 않으므로 漸進的인 破壞에 의한 補正係數는 0.9—1.0이며, 均等分布로 假定했을 때 $E[\mu_3]=0.95$, $\Omega[\mu_3]=0.03$ 的 값을 얻을 수 있다.

以上의 結果에서 現場배인試驗을 利用할 때 比較強度試驗의 形態에 의한 補正係數(M_i)의 平均值와 變動係數는(20)式으로 算定할 수 있다.

$$E[M_i] = \frac{1}{\sum_j} 1/E[\mu_j] \quad \dots \dots \dots \dots \quad (20a)$$

$$\Omega[M_i] = \sqrt{\sum_j \Omega^2[\mu_j]} \quad \dots \dots \dots \dots \quad (20b)$$

4.4 原位置 非排水剪斷強度

Statfjord B의 21個所에서 구한 q_c profile은 Fig. 8에 수록되어 있으며, 4.3절에서 구한 N_k 를 代入하여 구한 非排水剪斷強度를 Fig. 9에 수록했다.

Statfjord B의 重力式 海洋構造物의 滑動에 대 한 基礎抵抗은 室內試驗으로 구한 N_k 로 Cone 貫入試驗을 解析한 경우에는 平均值가 2330MN 이고, 變動係數가 0.35 이다. 또한, 現場배인試驗으로 구한 N_k 로 Cone 貫入試驗을 解析한 경우에는 平均值가 2319MN 이고, 變動係數가 0.16 이다(Table. 5). 위의 結果에서 抵抗의 平均值는 비슷하나, 室內試驗에서 구한 N_k 를 利用하여 계산된抵抗의 變動係數는 現場배인試驗의 경우보다 2倍 정도 크다. 그러므로, 海洋粘土에서 Cone 貫入試驗으로 非排水剪斷強度를 算定할 때

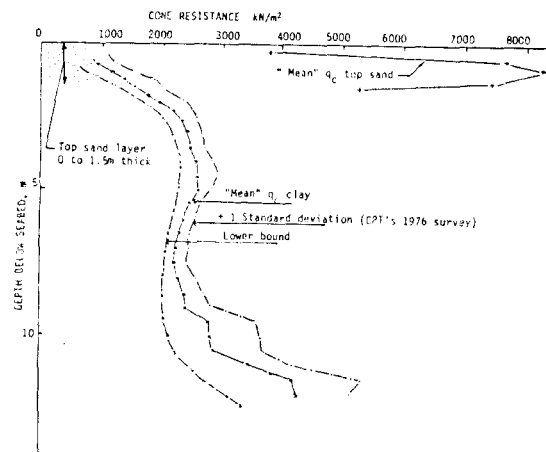


Fig. 8 q_c Profile (Statfjord B)

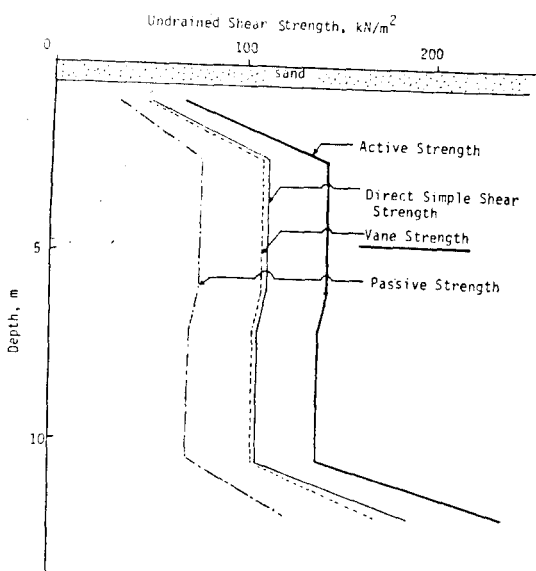


Fig. 9 Shear Strength Profile

Table. 5 Foundation Reliability

Criteria	Resistance		Load			Safety Factor		Reliability
	$E[R]$ (MN)	$\Omega[R]$	storm	$E[L]$	$\Omega[L]$	$E[FS]$	$\Omega[FS]$	
Lab. Test-CPT	2330	0.35	1yr. 20yr.	723 949	0.21 0.24	3.22 2.46	0.41 0.42	2.19×10^{-8} 2.10×10^{-2}
FVT-CPT	2319	0.16	1yr. 20yr.	723 949	0.21 0.24	3.21 2.44	0.26 0.29	3.58×10^{-6} 7.11×10^{-4}

가장重要的 것이 N_k 값의 정확성을 알 수 있고, 室內試驗보다는 現場비인試驗과의 關係로부터 N_k 값을 算定하는 것이 바람직한 것으로 思料된다.

두 境遇의 각각에 대하여 地盤이 滑動에 의하여 破壞될 確率을 計算하여 역시 Table. 5에 수록했다. 破壞될 確率 혹은 信賴度의 기본이론은 참고문헌(16)에 詳細히 수록되어 있다. Table. 5에서 볼 수 있듯이 室內試驗을 相關關係로 이용한 경우의 破壞確率이 現場비인試驗을 이용한 경우보다 $10^2 \sim 10^3$ 의 배로 더 큼을 알 수 있다.

5. 結論

本研究에서는 海洋地盤의 砂質土와 粘土에서 Cone 貫入試驗을 利用한 剪斷強度 算定方法의 不確定性을 각각 調查하고, 解析方法에 따른 差異를 分析하였다.

本研究의 結論은 다음과 같다.

(1) 砂質土에서 Cone 貫入試驗을 利用하여 內部摩擦角을 算定할 때의 不確定性에는 土質特性의 空間的 變化, 解析方法의 誤差, 不充分한 試料로 인한 誤差等이 있으며 이 중에서 解析方法의 誤差로 인한 不確定性이 가장 크다.

(2) Cone 貫入試驗으로 구한 內部摩擦角은 Meyerhof 方法이 다른 方法보다 $2\sim4^\circ$ 정도 작은 값을 주며, 解析方法마다 차이가 크므로 주관적 견해개념(Subjective Opinion)을 통하여結果를綜合하여야 한다.

(3) 粘土地盤에서 Cone 貫入試驗을 利用한 非排水剪斷強度 算定方法에 대한 不確定性은 N_k 값의 資料散布, N_k 값의 모델誤差, 異方性, Cone 저항력의 空間的 變化로 인한 散布 等에 基因하며, 이 중에서 가장 큰 影響을 끼치는 것은 N_k 값의 資料散布이다.

(4) Cone 貫入試驗으로 非排水剪斷強度를 算定할 때, 現場비인試驗과의 關係에서 구한 N_k 값을 適用하면 滑動強度를 얻을 수 있으므로 異方性에 대한 补正을 할 必要가 없다.

(5) 粘土地盤에 設置된 重力式 海洋構造物의 安定解析에 Cone 貫入試驗으로 強度를 算定할 때는 室內試驗보다는 現場비인試驗으로 구한 N_k

값을 適用하는 것이 바람직하며, 다른 試驗을並行한다면 信賴性을 增進시킬 수 있을 것으로 思料된다.

참고문헌

1. Barlow, R.E., "The Bayesian Approach in Risk Analysis", Specialty Conf. on Probabilistic Mechanics and Structural Reliability, ASCE, 1984.
2. Bjerrum, L., "Problems of Soil Mechanics and Construction on Soft Clays", NGI, Publ. 100, 1973.
3. Campanella, R.G. and Robertson, P.K., "Applied Cone Research", Symposium on Cone Penetration Testing and Experience, Geo. Engrg. Div., ASCE, 1981, pp. 343~362.
4. Durgunoglu, H.T. and Mitchell, J.K., "Static Penetration Resistance of Soils," Proc. Conf. on in Situ Measurement of Soil Properties, ASCE, Vol. 1, 1975, pp. 151~189.
5. Eide, O. and Andersen, K.H., "Foundation Engineering for Gravity Structures in the Northern North Sea", NGI, Publ. 154, 1984.
6. Höeg, K. and Tang, W.H., "Probabilistic Consideration in the Foundation Engineering for Offshore Structures", NGI, Publ. 120, 1977.
7. Janbu, N. and Senneset, K., "Effective Stress Interpretation of In-situ Static Penetration Test", Proc. European Symposium on Penetration Testing, Stockholm, Sweden, 1974, Vol. 2.2, pp. 181~193.
8. Kjekstad, O.T., Lunne, T., and Clausen, C.J.F., "Comparison Between In-Situ Cone Resistance and Laboratory Strength for Overconsolidated North Sea Clays", Marine Geotechnology, Vol. 3, No. 1, 1978, pp. 23~36.
9. Lunne, T. and Christoffersen, H.P., "Interpretation of Cone Penetrometer Data for Offshore Sands, Proc. 15th Offshore Technology Conf., Houston, 1983, pp. 181~188.
10. Lunne, T. and Kleven, A., "Role of CPT in North Sea Foundation Engineering, Symposium on Cone Penetration Testing and Experience, Geo. Engrg. Div., ASCE, 1981, pp. 76~107.
11. Meyerhof, G.G., "Penetration Testing Outside

- Europe”, General Report, Proc. European Symposium on Penetration Testing, Stockholm, Sweden, 1974, Vol. 2.1.
12. Schmertmann, J.H., “Penetration Pore Pressure Effects on Quasistatic Cone Bearing”, Proc. European Symposium on Penetration Testing, Stockholm, Sweden, 1974, Vol. 2.2, pp. 345~341.
13. Schmertmann, J.H., “Measurement of In-situ Shear Strength” Specialty Conf. on In-situ Measurement of Soil Properties, ASCE, 1975, Vol. 2, pp. 57~138.
14. Schmertmann, J.H., “Guidelines for Cone Penetration Test, Rep. FHWA-TS-78-209, Federal Highway Admin., U.S. Dept. of Transportation, Washington, D.C., 1978.
15. Vanmarcke, E.H., “Probabilistic Modeling of Soil Profiles”, Jour. of Geo. Engrg. Div., ASCE, Vol. 103, No. GT11, 1977, pp. 1227~1246.
16. 李寅模, 李命宰, “重力式 海洋構造物의 滑動에 대한 信賴度解析”, 大韓土質工學會誌, 第 2 卷 第 3 號, 1986, pp. 37~49.